



Recursive Filters Рекурсивные Фильтры

Recursive filters are an efficient way of achieving a long impulse response, without having to perform a long convolution. They execute very rapidly, but have less performance and flexibility than other digital filters. Recursive filters are also called *Infinite Impulse Response* (IIR) filters, since their impulse responses are composed of decaying exponentials. This distinguishes them from digital filters carried out by convolution, called *Finite Impulse Response* (FIR) filters. This chapter is an introduction to how recursive filters operate, and how simple members of the family can be designed. Chapters 20, 26 and 33 present more sophisticated design methods.

Рекурсивные фильтры - эффективный путь достижения длинной импульсной передаточной функции, без того, чтобы иметь необходимость исполнять длинную свертку. Они выполняются очень быстро, но имеют меньшее количество эффективности и гибкости чем другие цифровые фильтры. Рекурсивные фильтры также называются, фильтрами с *бесконечной Импульсной Передаточная Функцией* (БИХ), так как их импульсные передаточные функции составлены из распадающихся показательных функций. Это отличает их от цифровых фильтров, выполненных сверткой, называемой фильтрами с *Конечной Импульсной передаточной Функцией* (КИХ). Эта глава - введение в то, как рекурсивные фильтры работают, и как простые члены семейства могут быть разработаны. Главы 20, 26 и 33 существующих более сложных методов проектирования.

The Recursive Method Рекурсивный Метод

To start the discussion of recursive filters, imagine that you need to extract information from some signal, $x[n]$. Your need is so great that you hire an old mathematics professor to process the data for you. The professor's task is to filter $x[n]$ to produce $y[n]$, which hopefully contains the information you are interested in. The professor begins his work of calculating each point in $y[n]$ according to some algorithm that is locked tightly in his over-developed brain. Part way through the task, a most unfortunate event occurs. The professor begins to babble about analytic singularities and fractional transforms, and other demons from a mathematician's nightmare. It is clear that the professor has lost his mind. You watch with anxiety as the professor, and your algorithm, are taken away by several men in white coats.

Чтобы начать обсуждение рекурсивных фильтров, вообразите, что Вы должны извлечь информацию из некоторого сигнала, $x[n]$. Ваши потребности настолько велики, что Вы нанимаете старых профессоров математики, чтобы обработать данные для Вас. Задача профессора состоит в том, чтобы фильтровать $x[n]$, чтобы произвести $y[n]$, который обнадеживающе содержит интересующую Вас информацию. Профессор начинает его работу вычисления каждой точки в $y[n]$ согласно некоторому алгоритму, который сильно закреплен в его развитом мозгу. На некотором этапе в решении задачи происходит наиболее неудачный результат. Профессор начинает лепетать относительно аналитических особенностей и дробных трансформант, и других демонов от кошмара математика. Ясно, что профессор потерял рассудок. Вы с беспокойством наблюдаете как профессор, и ваш алгоритм, загублены несколькими людьми в белых халатах.

You frantically review the professor's notes to find the algorithm he was using. You find that he had completed the calculation of points $y[0]$ through $y[27]$, and was about to start on point $y[28]$. As shown in Fig. 19-1, we will let the variable, n , represent the point that is currently being calculated. This means that $y[n]$ is sample 28 in the output signal, $y[n - 1]$, is sample 27, $y[n - 2]$ is sample 26, etc. Likewise, $x[n]$ is point 28 in the input signal, $x[n - 1]$ is point 27, etc. To understand the algorithm being used, we ask ourselves: "What information was available to the professor to calculate $y[n]$ the sample currently being worked on?"

Вы отчаянно пересматриваете записи профессора, чтобы найти алгоритм, который он использовал. Вы находите, что он закончил вычисление точек $y[0]$ через $y[27]$, и собирался начать на точке $y[28]$. Как показано на рис. 19-1, мы позволили переменной, n , представлять точку, которая вычисляется в настоящее время. Это означает, что $y[n]$ - выборка 28 в выходном сигнале $y[n - 1]$, является выборкой 27, $y[n - 2]$ выборкой 26, и т.д. Аналогично, $x[n]$ - точка 28 во входном сигнале, $x[n - 1]$ - точка 27, и т.д. Чтобы понимать используемый алгоритм, мы спрашиваем себя: "Какая информация, доступная профессору, должна была вычислить $y[n]$, текущую выборку, находящуюся в настоящее время в обработке?"

The most obvious source of information is the *input signal*, that is, the values: $x[n]$, $x[n - 1]$, $x[n - 2]$, \dots . The professor could have been multiplying each point in the input signal by a coefficient, and adding the products together:

$$y[n] = a_0 x[n] + a_1 x[n - 1] + a_2 x[n - 2] + a_3 x[n - 3] + \dots$$

You should recognize that this is nothing more than simple convolution, with the coefficients: a_0 , a_1 , a_2 , forming the convolution kernel. If this was all the professor was doing, there wouldn't be much need for this story, or this chapter. However, there is another source of information that the professor had access to: the *previously* calculated values of the output signal, held in: $y[n - 1]$, $y[n - 2]$, $y[n - 3]$, \dots . Using this additional information, the algorithm, would be in the form:

Вы должны признать, что это ничто больше, чем простая свертка с коэффициентами: a_0 , a_1 , a_2 , формирующими ядро свертки. Если бы это было все, что делал профессор, имелось бы много необходимого в этой истории, или этой главе. Однако, имеется другой источник информации, что профессор имел доступ к: *предварительно* рассчитанным значениям выходного сигнала, проведенного в: $y[n - 1]$, $y[n - 2]$, $y[n - 3]$, \dots . Используя эту дополнительную информацию, алгоритм был бы в форме:

$$y[n] = a_0 x[n] + a_1 x[n - 1] + a_2 x[n - 2] + a_3 x[n - 3] + \dots \\ + b_1 y[n - 1] + b_2 y[n - 2] + b_3 y[n - 3] + \dots$$

EQUATION 19-1. The recursion equation.

In this equation, $x[n]$ is the input signal, $y[n]$ is the output signal, and the a 's and b 's are coefficients.

УРАВНЕНИЕ 19-1. Уравнение рекурсии.

В этом уравнении $x[n]$ - входной сигнал, $y[n]$ - выходной сигнал, и a 's и b 's - коэффициенты.

In words, each point in the output signal is found by multiplying the values from the input signal by the "a" coefficients, multiplying the previously calculated values from the output signal by the "b" coefficients, and adding the products together. Notice that there isn't a value for b_0 , because this corresponds to the sample being calculated. Equation 19-1 is called the **recursion equation**, and filters that use it are called **recursive filters**. The "a" and "b" values that define the filter are called the **recursion coefficients**. In actual practice, no more than about a dozen recursion coefficients can be used or the filter becomes unstable (i.e., the output continually increases or oscillates). Table 19-1 shows an example recursive filter program.

В словах, каждая точка в сигнале выхода найдена, умножая значения от входного сигнала коэффициентами "a", умножая предварительно расчетные значения от сигнала выхода коэффициентами "b", и складывая полученные произведения. Обратите внимание, что не имеется значения для b_0 , потому что этот b_0 соответствует рассчитываемой выборке. Уравнение 19-1 называется **уравнением рекурсии**, а фильтры, которые используют это уравнение, называются **рекурсивными фильтрами**. Значения "a" и "b", которые определяют фильтр, называются **коэффициентами рекурсии**. В существующей практике может использоваться не более дюжины коэффициентов рекурсии, или фильтр становится не стабильным, (то есть, выход непрерывно увеличивается или колеблется). В таблице 19-1 показан пример программы рекурсивного фильтра.

Recursive filters are useful because they *bypass* a longer convolution. For instance, consider what happens when a delta function is passed through a recursive filter. The output is the filter's *impulse response*, and will typically be a sinusoidal oscillation that exponentially decays. Since this impulse response is infinitely long, recursive filters are often called *infinite impulse response* (IIR) filters. In effect, recursive filters *convolve* the input signal with a very long filter kernel, although only a few coefficients are involved.

Рекурсивные фильтры полезны, потому что они *обходят* более длинную свертку. Например, рассмотрите, что случается, когда дельта функцию пропускают через рекурсивный фильтр. Выход фильтра - *импульсная передаточная функция*, и типично, будет синусоидальным колебанием, затухающей(убывающей) по экспоненте. Так как эта импульсная передаточная функция бесконечной длины, рекурсивные фильтры часто называется фильтрами с *бесконечной импульсной характеристикой* (БИХ). В действительности, рекурсивные фильтры свертывают входной сигнал с очень длинным ядром фильтра, хотя только незначительное число коэффициентов вовлечено.

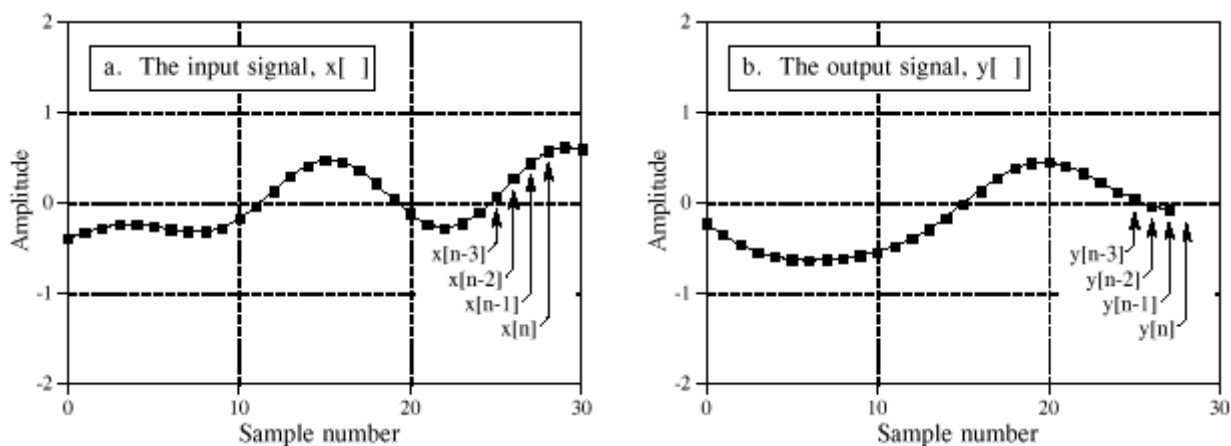


FIGURE 19-1. Recursive filter notation.

НАУЧНО-ТЕХНИЧЕСКОЕ РУКОВОДСТВО ПО ЦИФРОВОЙ ОБРАБОТКЕ СИГНАЛОВ

The output sample being calculated, $y[n]$, is determined by the values from the input signal, $x[n]$, $x[n - 1]$, $x[n - 2]$, ... as well as the *previously* calculated values in the output signal, . These figures are shown for $y[n - 1]$, $y[n - 2]$, $y[n - 3]$, ...

РИСУНОК 19-1. Система обозначений(Представление) рекурсивного фильтра.

Рассчитываемая выборка выхода, $y[n]$, определена значениями от входного сигнала, $x[n]$, $x[n - 1]$, $x[n - 2]$, ..., так же как, рассчитанные предварительно, значения в выходном сигнале. Эти рисунки показаны для $y[n - 1]$, $y[n - 2]$, $y[n - 3]$, ...

The relationship between the recursion coefficients and the filter's response is given by a mathematical technique called the **z-transform**, the topic of Chapter 33. For example, the z-transform can be used for such tasks as: converting between the recursion coefficients and the frequency response, combining cascaded and parallel stages into a single filter, designing recursive systems that mimic analog filters, etc. Unfortunately, the z-transform is very mathematical, and more complicated than most DSP *users* are willing to deal with. This is the realm of those that specialize in DSP.

Отношения между коэффициентами рекурсии и ответом фильтра даются математической методикой называемой **z-трансформантой**, тема главы 33. Например, z-трансформанта может использоваться для таких задач как: преобразование между коэффициентами рекурсии и частотной характеристикой, объединение каскадных и параллельных стадий в един(ый)ственный фильтр, проектирование рекурсивных систем, которые подражают(подобны) аналоговым фильтрам, и т.д. К сожалению, z-трансформанта очень математическая, и более сложна, чем, то, с чем большинство пользователей ЦОС желают иметь дело. Это - область тех, кто специализируются в ЦОС.

There are three ways to find the recursion coefficients without having to understand the z-transform. First, this chapter provides design equations for several types of simple recursive filters. Second, Chapter 20 provides a "cookbook" computer program for designing the more sophisticated *Chebyshev* low-pass and high-pass filters. Third, Chapter 26 describes an iterative method for designing recursive filters with an *arbitrary* frequency response.

Имеется три способа найти коэффициенты рекурсии без того, чтобы иметь необходимость понимать z-трансформанту. Во первых, эта глава обеспечивает уравнения проекта для нескольких типов простых рекурсивных фильтров. Во вторых, глава 20 обеспечивает компьютерную программу "поваренной книги" для проектирования более сложного Чебышевских фильтров низких и верхних частот. Третье, глава 26 описывает итерационный метод для проектирования рекурсивных фильтров с произвольной частотной характеристикой.

```
100          'RECURSIVE FILTER
110          '
120 DIM X[499]      'holds the input signal
130 DIM Y[499]      'holds the filtered output signal
140          '
150 GOSUB XXXX      'mythical subroutine to calculate the recursion
160 '              'coefficients: A0, A1, A2, B1, B2
170 '
180 GOSUB XXXX      'mythical subroutine to load X[ ] with the input data
190 '
200 FOR I% = 2 TO 499
210 Y[I%] = A0*X[I%] + A1*X[I%-1] + A2*X[I%-2] + B1*Y[I%-1] + B2*Y[I%-2]
220 NEXT I%
230          '
240 END
```

ТАБЛИЦА 19-1

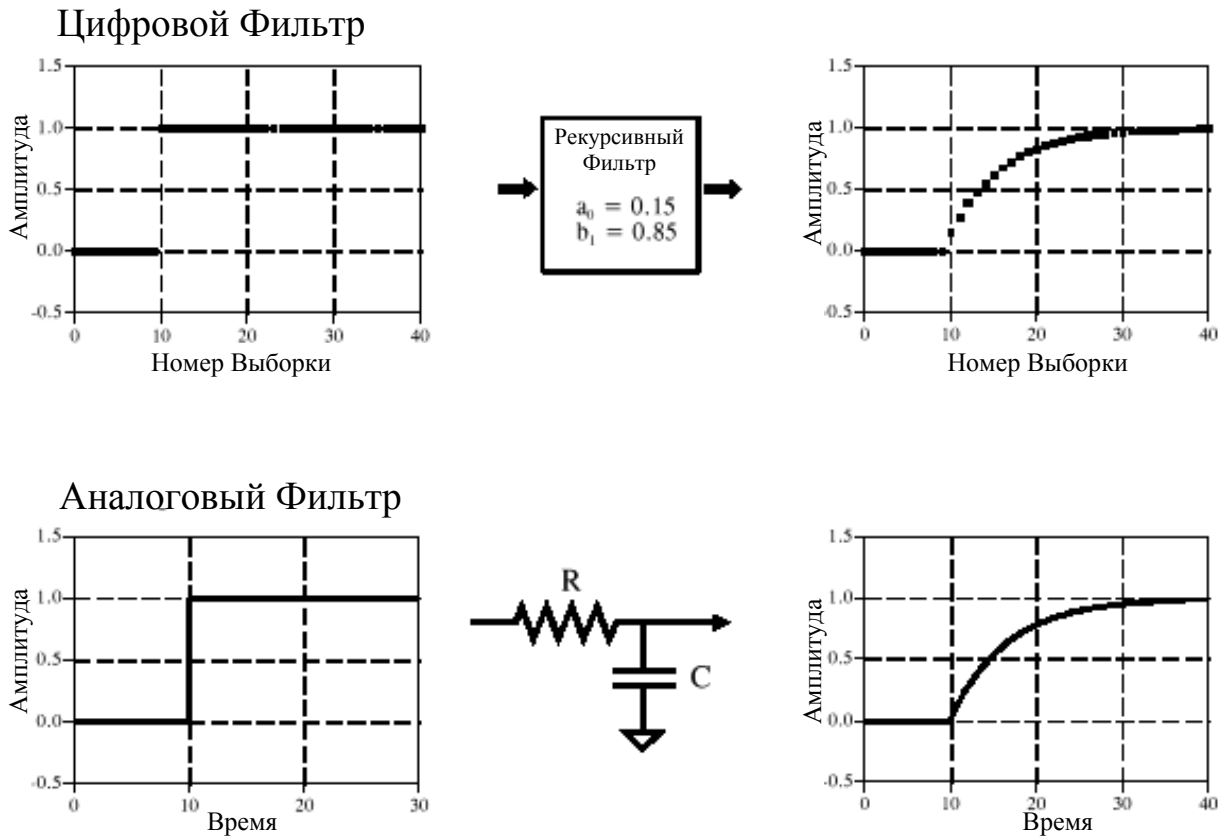


FIGURE 19-2. Single pole low-pass filter.

Digital recursive filters can mimic analog filters composed of resistors and capacitors. As shown in this example, a single pole low-pass recursive filter smooths the edge of a step input, just as an electronic RC filter.

РИСУНОК 19-2. Однополюсный фильтр нижних частот.

Цифровые рекурсивные фильтры могут подражать аналоговым фильтрам, составленным из резисторов и конденсаторов. Как показано в этом примере, однополюсный рекурсивный фильтр с низким проходом (низкой частоты) сглаживает край (фронт) ввода шага (ступеньки), также, как электронный RC фильтр.

Single Pole Recursive Filters Однополюсные Рекурсивные Фильтры

Figure 19-2 shows an example of what is called a **single pole** low-pass filter. This recursive filter uses just two coefficients, $a_0 = 0.15$ and $b_1 = 0.85$. For this example, the input signal is a step function. As you should expect for a low-pass filter, the output is a smooth rise to the steady state level. This figure also shows something that ties into your knowledge of electronics. This low-pass recursive filter is completely analogous to an electronic low-pass filter composed of a single resistor and capacitor.

На рисунке 19-2 показан пример того, что называется однополюсным фильтром нижних частот. Этот рекурсивный фильтр использует только два коэффициента, $a_0 = 0.15$ и $b_1 = 0.85$. Для этих примеров, входной сигнал - ступенчатая функция. Как Вы должны ожидать для фильтра нижних частот, выход - гладкое повышение к уровню установившихся состояний. Этот рисунок также показывает кое-что, что связано с вашими познаниями в электронике. Этот рекурсивный фильтр с низким проходом полностью аналогичен элек-

тронному фильтру нижних частот, составленному из единственного резистора и конденсатора.

The beauty of the recursive method is in its ability to create a wide variety of responses by changing only a few parameters. For example, Fig. 19-3 shows a filter with three coefficients: $a_0 = 0.93$, $a_1 = -0.93$ and $b_1 = 0.86$. As shown by the similar step responses, this digital filter mimics an electronic RC high-pass filter.

Прелесть рекурсивного метода заключается в его способности создать широкое разнообразие ответов(откликов), изменяя только несколько параметров. Например, на рис. 19-3 показан фильтр с тремя коэффициентами: $a_0 = 0.93$, $a_1 = -0.93$ и $b_1 = 0.86$. Как показано подобными реакциями на скачок(переходными характеристиками), этот цифровой фильтр подражает электронному RC фильтру верхних частот.

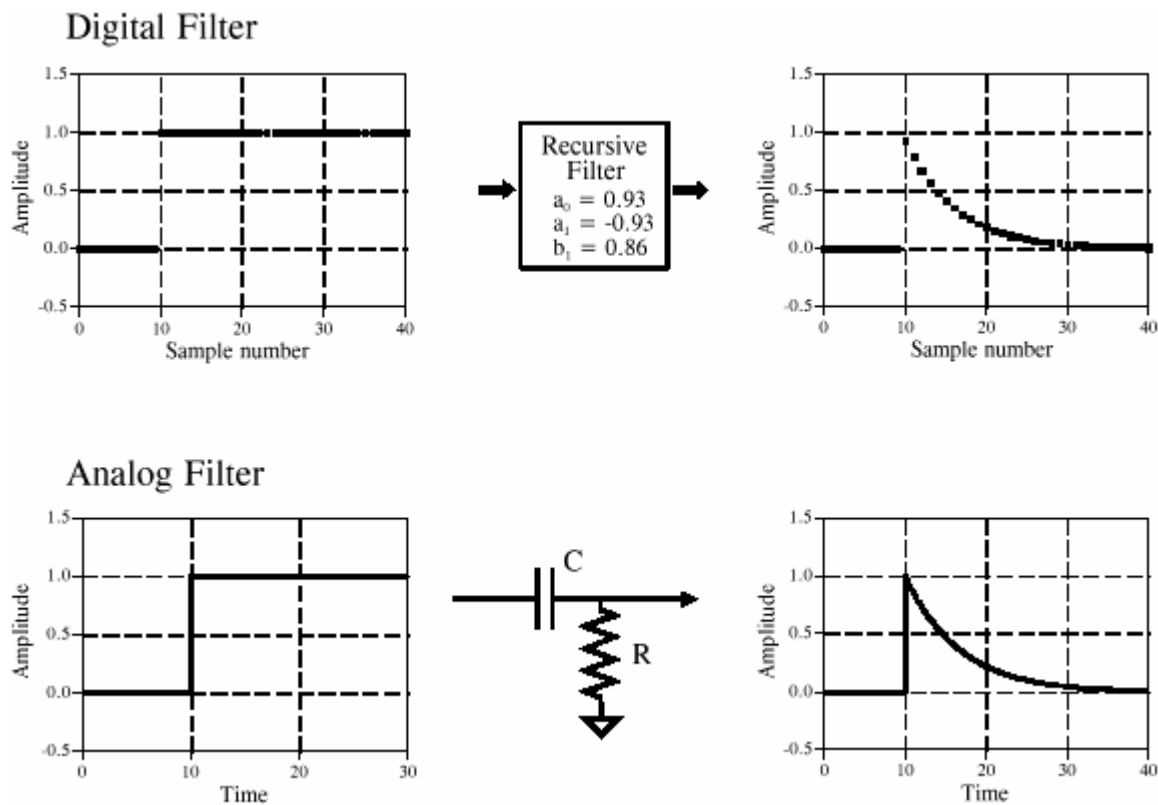


FIGURE 19-3. Single pole high-pass filter.

Proper coefficient selection can also make the recursive filter mimic an electronic RC high-pass filter. These single pole recursive filters can be used in DSP just as you would use RC circuits in analog electronics.

РИСУНОК 19-3. Однополюсный фильтр верхних частот.

Надлежащий выбор коэффициента может также заставить рекурсивный фильтр подражать электронному RC фильтру верхних частот. Эти однополюсные рекурсивные фильтры могут использоваться в ЦОС так же, как Вы использовали бы RC цепи в аналоговой электронике.

These single pole recursive filters are definitely something you want to keep in your DSP toolbox. You can use them to process digital signals just as you would use RC networks to process analog electronic signals. This includes everything you would expect: DC removal, high-frequency noise suppression, wave shaping, smoothing, etc. They are easy to program, fast to execute, and produce few surprises. The coefficients are found from these simple equations:

Эти однополюсные рекурсивные фильтры - определенно кое-что, что Вы хотите сохранить в вашем комплекте инструментов ЦОС. Вы можете использовать их, чтобы обрабо-

(с) АВТЭКС, Санкт-Петербург, <http://www.autex.spb.ru>, e-mail: info@autex.spb.ru

тать цифровые сигналы так же, как Вы использовали бы RC цепи, чтобы обработать аналоговые электронные сигналы. Это включает все, что Вы ожидали бы: удаление постоянного тока(постоянной составляющей?), подавление высокочастотного шума, формирование волны, сглаживание, и т.д. Они просты в программировании, быстро выполняются, и производят немного неожиданностей. Коэффициенты найдены из следующих линейных уравнений:

УРАВНЕНИЕ 19-2. Однополюсный фильтр нижних частот.

Ответ фильтра управляется параметром, x , значение между нулем и единицей.

$$\begin{aligned} a_0 &= 1 - x \\ b_1 &= x \end{aligned}$$

Уравнение 19-3. Однополюсный фильтр верхних частот.

$$\begin{aligned} a_0 &= (1+x)/2 \\ a_1 &= -(1+x)/2 \\ b_1 &= x \end{aligned}$$

The characteristics of these filters are controlled by the parameter, x , a value between zero and one. Physically, x is the amount of *decay* between adjacent samples. For instance, x is 0.86 in Fig. 19-3, meaning that the value of each sample in the output signal is 0.86 the value of the sample before it. The higher the value of x , the slower the decay. Notice that the filter becomes *unstable* if x is made greater than one. That is, any nonzero value on the input will make the output increase until an overflow occurs.

Характеристики этих фильтров управляются параметром, x , значение между нулем и единицей. Физически, x - количество *затухания(распада?)* между смежными выборками. Например, $x = 0.86$ в рис. 19-3, означает, что значение каждой выборки в сигнале выхода является значением 0.86 предшествующей выборки. Чем выше значение x , тем медленнее затухание(распада?). Обратите внимание, что фильтр становится *нестабильным*, если x сделан большим, чем единица. То есть любое значение отличное от нуля на входе будет делать увеличение выхода, пока не произойдет переполнение.

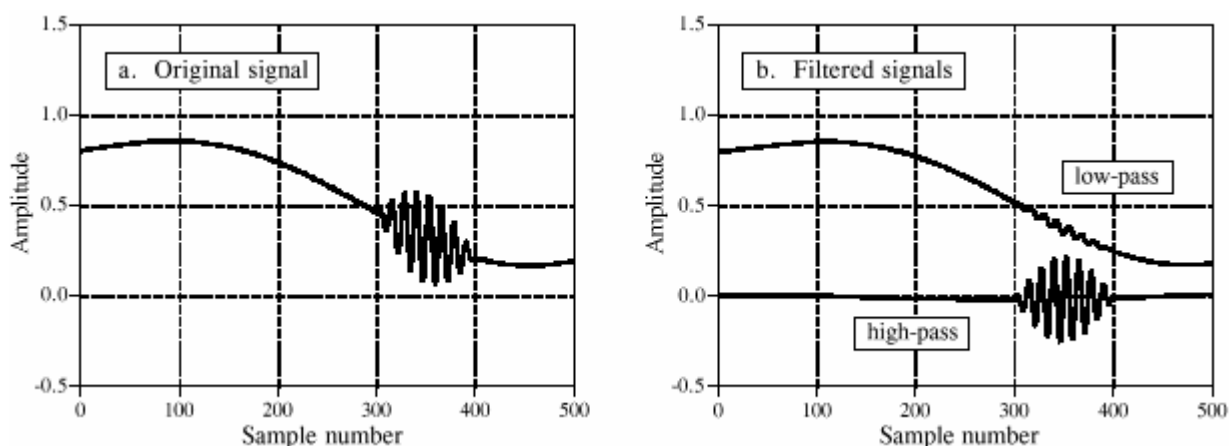


FIGURE 19-4. Example of single pole recursive filters.

In (a), a high frequency burst rides on a slowly varying signal. In (b), single pole low-pass and high-pass filters are used to separate the two components. The low-pass filter uses $x = 0.95$, while the high-pass filter is for $x = 0.86$.

РИСУНОК 19-4. Пример однополюсных рекурсивных фильтров.

В (а), высокая частота разорвала ход медленно изменяющегося сигнала. В (б), чтобы отделить эти два компонента, используются однополюсный фильтр низкой частоты и фильтр верхних частот. Фильтр нижних частот использует $x = 0.95$, в то время как фильтр верхних частот - $x = 0.86$.

НАУЧНО-ТЕХНИЧЕСКОЕ РУКОВОДСТВО ПО ЦИФРОВОЙ ОБРАБОТКЕ СИГНАЛОВ

The value for x can be directly specified, or found from the desired *time constant* of the filter. Just as $R \times C$ is the number of seconds it takes an RC circuit to decay to 36.8% of its final value, d is the number of samples it takes for a recursive filter to decay to this same level:

Значение для x может быть определено непосредственно, или найдено от желательной константы (постоянной времени) фильтра. Так же, как $R \times C$ - число секунд, которое требуется RC схеме, чтобы затухнуть до 36.8 % ее конечного значения, d - число выборок, которые требуется для рекурсивного фильтра, чтобы затухнуть до того же самого уровня:

EQUATION 19-4. Time constant of single pole filters.

This equation relates the amount of decay between samples, x , with the filter's time constant, d , the number of samples for the filter to decay to 36.8%.

$$x = e^{-1/d}$$

УРАВНЕНИЕ 19-4. Постоянная времени однополюсных фильтров.

Это уравнение связывают количество затухания между выборками, x , с константой времени фильтра, d , число выборок для фильтра, чтобы затухнуть до 36.8 %.

For instance, a sample-to-sample decay of $x = 0.86$ corresponds to a time constant of $d = 6.63$ samples (as shown in Fig 19-3). There is also a fixed relationship between x and the -3dB *cutoff frequency*, f_c , of the digital filter:

Например, затухание "выборка к выборке" $x = 0.86$ соответствует постоянной времени из $d = 6.63$ выборок (как показано в рис. 19-3). Имеется также установленное отношение между x и -3dB *частоты отсечки*(*частоты среза*) f_c , цифрового фильтра:

EQUATION 19-5. Cutoff frequency of single pole filters.

The amount of decay between samples, x , is related to the cutoff frequency of the filter, f_c , a value between 0 and 0.5.

$$x = e^{-2\pi f_c}$$

УРАВНЕНИЕ 19-5. Частота отсечки однополюсных фильтров.

Количество затухания между выборками, x , связано с частотой отсечки фильтра, f_c , значение между 0 и 0.5.

This provides three ways to find the "a" and "b" coefficients, starting with the time constant, the cutoff frequency, or just directly picking x . Figure 19-4 shows an example of using single pole recursive filters. In (a), the original signal is a smooth curve, except a burst of a high frequency sine wave. Figure (b) shows the signal after passing through low-pass and high-pass filters. The signals have been separated fairly well, but not perfectly, just as if simple RC circuits were used on an analog signal.

Это обеспечивает три способа найти коэффициенты "a" и "b", начинающиеся с константы времени, частоты отсечки, или только непосредственно выбирая x . На рисунке 19-4 показан пример использования однополюсных рекурсивных фильтров. В (a), первоначальный сигнал - гладкая кривая, кроме импульса волны синуса высокой частоты. На рисунке (b) показан сигнал после прохождения через фильтры низких и верхних частот. Сигналы были отделены довольно хорошо, но не абсолютно, так же, как если бы использовались RC цепи на аналоговом сигнале.

Figure 19-5 shows the frequency responses of various single pole recursive filters. These curves are obtained by passing a delta function through the filter to find the filter's impulse response. The FFT is then used to convert the impulse response into the frequency response. In principle, the impulse response is infinitely long; however, it decays below the single precision round-off noise after about 15 to 20 time constants. For example, when the time constant of the filter is $d = 6.63$ samples, the impulse response can be contained in about 128 samples.

На рисунке 19-5 показаны частотные характеристики различных однополюсных рекурсивных фильтров. Эти кривые получены, пропуская дельта функцию через фильтр, чтобы найти импульсную передаточную функцию фильтра. БПФ тогда используется, чтобы преобразовать импульсную передаточную функцию в частотную характеристику. В принципе, импульсная передаточная функция - бесконечно длинна; однако, это(она) затухает после округления шума с одинарной прецизионностью приблизительно от 15 до 20 раз. Например, когда постоянная(константа) времени фильтра - $d = 6.63$ выборки, импульсная передаточная функция может содержаться приблизительно в 128 выборках.

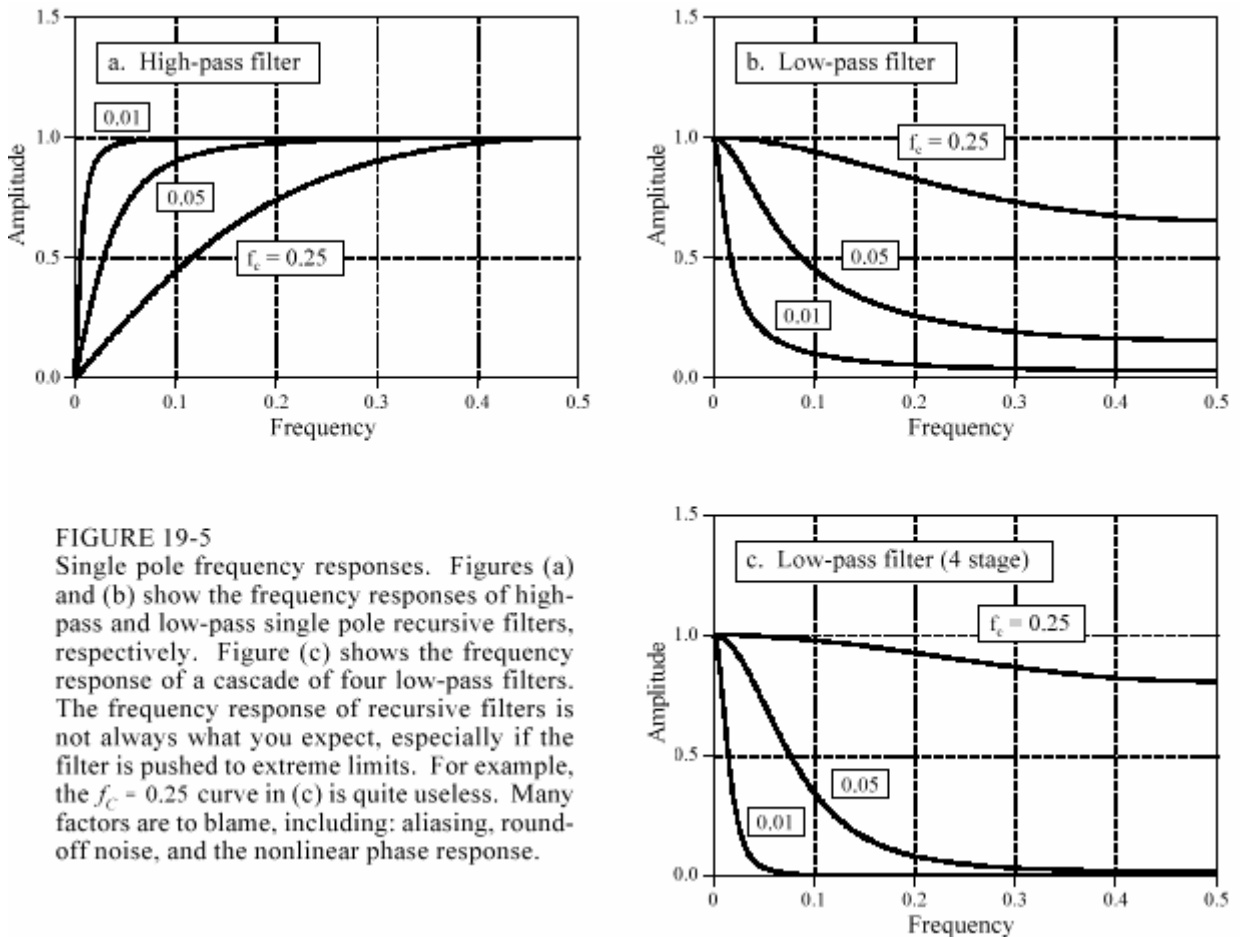


FIGURE 19-5
 Single pole frequency responses. Figures (a) and (b) show the frequency responses of high-pass and low-pass single pole recursive filters, respectively. Figure (c) shows the frequency response of a cascade of four low-pass filters. The frequency response of recursive filters is not always what you expect, especially if the filter is pushed to extreme limits. For example, the $f_c = 0.25$ curve in (c) is quite useless. Many factors are to blame, including: aliasing, round-off noise, and the nonlinear phase response.

РИСУНОК 19-5. Однополюсные частотные характеристики.

Рисунки (а) и (б) показывают частотные характеристики фильтра верхних частот и однополюсного рекурсивного фильтра низких частот, соответственно. Рисунок (с) показывает частотную характеристику четырех каскадов фильтров нижних частот. Частотная характеристика рекурсивных фильтров - не всегда то, что Вы ожидаете, особенно, если фильтр помещен в критические пределы. Например, кривая $f_c = 0.25$, в (с), весьма бесполезна. Много факторов виновато, включая: наложение спектров, шум округления, и нелинейную частотную характеристику.

The key feature in Fig. 19-5 is that single pole recursive filters have little ability to separate one band of frequencies from another. In other words, they perform well in the time domain, and poorly in the frequency domain. The frequency response can be improved slightly by cascading several stages. This can be accomplished in two ways. First, the signal can be passed through the filter several times. Second, the z-transform can be used to find the recursion coefficients that combine the cascade into a single stage. Both ways work and are commonly used. Figure (c) shows the frequency response of a cascade of four low-pass filters. Although the stopband attenuation is significantly improved, the roll-off is still terrible. If you need better performance in the frequency domain, look at the Chebyshev filters of the next chapter.

Главная особенность в рис. 19-5 - то, что однополюсные рекурсивные фильтры имеют не большую способность отделить одну полосу частот от другой. Другими словами, они исполняют хорошо в домене времени, и плохо в частотном домене. Частотная характеристика может быть слегка улучшена, располагая каскадом несколько стадий. Это может быть выполнено двумя способами. Во первых, сигнал можно пропускать через фильтр несколько раз. Во вторых, может использоваться z-трансформанта, чтобы найти коэффициенты рекурсии, которые комбинируют(объединяют) каскад в единственную(отдельную) стадию. Оба пути действенны и обычно используются. Рисунок (с) показывает частотную характеристику из четырех каскадов фильтров нижних частот. Хотя ослабление полосы задерживания знаменательно улучшено, завал(спад) все еще ужасен. Если Вы нуждаетесь в лучшей эффективности в частотном домене, смотрите на Чебышевские фильтры в следующей главе.

The four stage low-pass filter is comparable to the Blackman and Gaussian filters (relatives of the moving average, Chapter 15), but with a much faster execution speed. The design equations for a four stage low-pass filter are:

Четыре стадии фильтра нижних частот сопоставимы фильтрам Блэкмана и Гауссиана (относительно числа скользящего среднего, глава 15), но с намного более высоким быстродействием выполнения. Уравнения проекта для четырех стадий фильтра нижних частот:

EQUATION 19-6. Four stage low-pass filter.

These equations provide the "a" and "b" coefficients for a cascade of four single pole low-pass filters. The relationship between x and the cutoff frequency of this filter is given by Eq. 19-5, with the $2B$ replaced by 14.445 .

УРАВНЕНИЕ 19-6. Четыре стадии фильтра нижних частот.

Эти уравнения обеспечивают коэффициенты "a" и "b" для каскада четырех однополюсных фильтров нижних частот. Отношения между x и частотой отсечки этого фильтра даются уравнением 19-5, с 2π замененным 14.445 .

$$\begin{aligned} a_0 &= (1-x)^4 \\ b_1 &= 4x \\ b_2 &= -6x^2 \\ b_3 &= 4x^3 \\ b_4 &= -x^4 \end{aligned}$$

Narrow-band Filters

Узкополосные Фильтры

A common need in electronics and DSP is to isolate a narrow band of frequencies from a wider bandwidth signal. For example, you may want to eliminate 60 hertz interference in an instrumentation system, or isolate the signaling tones in a telephone network. Two types of frequency responses are available: the *band-pass* and the *band-reject* (also called a **notch filter**). Figure 19-6 shows the frequency response of these filters, with the recursion coefficients provided by the following equations:

Общая(обычная) потребность в электронике и ЦОС состоит в том, чтобы изолировать(вырезать) узкую полосу частот из более широкой ширины полосы частот сигнала. Например, Вы можете хотеть устранить интерференцию 60 герц в контрольно-измерительной системе, или изолировать тоны передачи сигналов в телефонной сети. Два типа частотных характеристик доступны: *полосовой* и *полосовой заграждающий(режекторный)* (также называемый **фильтром-пробкой**). На рисунке 19-6 показаны частотные характеристики этих фильтров, с коэффициентами рекурсии, обеспеченными следующими уравнениями:

EQUATION 19-7. Band-pass filter.

An example frequency response is shown in Fig. 19-6a. To use these equations, first select the center frequency, f , and the bandwidth, BW . Both of these

(с) АВТЭКС, Санкт-Петербург, <http://www.autex.spb.ru>, e-mail: info@autex.spb.ru

$$\begin{aligned} a_0 &= 1 - K \\ a_1 &= 2(K - R) \cos(2\pi f) \\ a_2 &= R^2 - K \\ b_1 &= 2R \cos(2\pi f) \\ b_2 &= -R^2 \end{aligned}$$

НАУЧНО-ТЕХНИЧЕСКОЕ РУКОВОДСТВО ПО ЦИФРОВОЙ ОБРАБОТКЕ СИГНАЛОВ

are expressed as a fraction of the sampling rate, and therefore in the range of 0 to 0.5. Next, calculate R , and then K , and then the recursion coefficients.

УРАВНЕНИЕ 19-7. Полосовой фильтр.

Пример частотной характеристики показан на рисунке 19-6а. Используя эти уравнения, сначала выбирают среднюю частоту, f , и ширину полосы частот, BW . Оба из них выражены как дробь(доля) частоты выборки, и поэтому в диапазоне от 0 до 0.5. Затем, вычисляют R , и затем K , и затем коэффициенты рекурсии.

EQUATION 19-8. Band-reject filter.

This filter is commonly called a notch filter. Example frequency responses are shown in Fig. 19-6b.

УРАВНЕНИЕ 19-8. Полосовой заграждающий(режекторный) фильтр.

Этот фильтр обычно называется фильтр-пробка. Примера частотных характеристик показан на рисунке 19-6б.

$$\begin{aligned}a_0 &= K \\a_1 &= -2K \cos(2\pi f) \\a_2 &= K \\b_1 &= 2R \cos(2\pi f) \\b_2 &= -R^2\end{aligned}$$

где:

$$K = \frac{1 - 2R \cos(2\pi f) + R^2}{2 - 2 \cos(2\pi f)}$$

$$R = 1 - 3BW$$

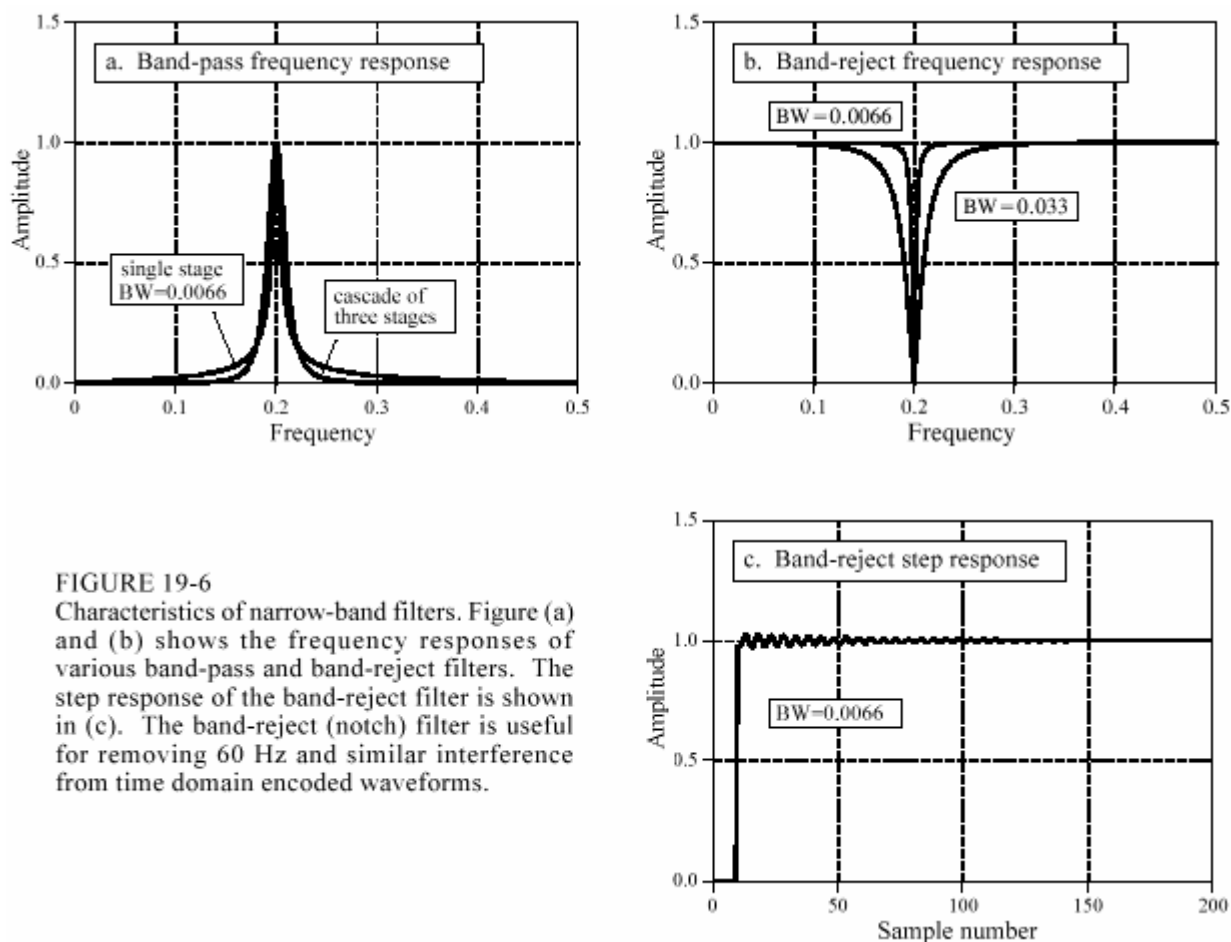


FIGURE 19-6 Characteristics of narrow-band filters. Figure (a) and (b) shows the frequency responses of various band-pass and band-reject filters. The step response of the band-reject filter is shown in (c). The band-reject (notch) filter is useful for removing 60 Hz and similar interference from time domain encoded waveforms.

РИСУНОК 19-6. Характеристики узкополосных фильтров.

На рисунках (a) и (b) показаны частотные характеристики различных полосовых и полосовых заграждающих (режекторных) фильтров. Реакция на скачок (переходная характеристика) полосового заграждающего фильтра показана в (c). Полосовой заграждающий фильтр (фильтр-пробка) полезен для удаления 60 Гц и подобной интерференции из формы волны, закодированной в домене времени.

Two parameters must be selected before using these equations: f , the center frequency, and BW , the bandwidth (measured at an amplitude of 0.707). Both of these are expressed as a fraction of the sampling frequency, and therefore must be between 0 and 0.5. From these two specified values, calculate the intermediate variables: R and K , and then the recursion coefficients. As shown in (a), the band-pass filter has relatively large *tails* extending from the main peak. This can be improved by cascading several stages. Since the design equations are quite long, it is simpler to implement this cascade by filtering the signal several times, rather than trying to find the coefficients needed for a single filter.

Два параметра должны быть отобраны перед использованием этих уравнений: f , средняя частота, и BW , ширина полосы частот (измеренной в 0.707 амплитуды). Оба из них выражены как дробь (доля) выборочной частоты, и поэтому должны быть между 0 и 0.5. От этих двух указанных значений, вычислите промежуточные переменные: R и K , и затем коэффициенты рекурсии. Как показано в (a), полосовой фильтр имеет относительно большие *хвосты* (импульса), простирающиеся от основного пика. Это может быть улучшено, располагая каскадом несколько стадий. Так как уравнения проекта - весьма долго, более простое осуществить этот каскад, фильтруя сигнал несколько раз, скорее чем пытаться найти коэффициенты необходимые для единственного (отдельного) фильтра.

Figure (b) shows examples of the band-reject filter. The narrowest bandwidth that can be obtained with single precision is about 0.0003 of the sampling frequency. When pushed beyond this limit, the attenuation of the notch will degrade. Figure (c) shows the step response of the band-reject filter. There is noticeable overshoot and ringing, but its amplitude is quite small. This allows the filter to remove narrowband interference (60 Hz and the like) with only a minor distortion to the time domain waveform.

На рисунке (b) показаны примеры полосового заграждающего фильтра. Самая узкая ширина полосы частот, которая может быть, получена с одинарной прецизионностью - приблизительно 0.0003 от выборочной частоты. Когда помещено вне этого предела, ослабление фильтра-пробки ухудшится. На рисунке (c) показана реакция на скачок(переходная частотная характеристика) полосового заграждающего фильтра. Имеется значимое переуправление и звон, но его амплитуда весьма маленькая. Это позволяет фильтру удалять узкополосную интерференцию (60 Гц и т.п.) с только незначительно мелкими искажениями в форме волны домена времени.

Phase Response

Фазовый Ответ(Фазочастотная характеристика)

There are three types of *phase response* that a filter can have: **zero phase**, **linear phase**, and **nonlinear phase**. An example of each of these is shown in Figure 19-7. As shown in (a), the *zero phase* filter is characterized by an impulse response that is symmetrical around sample zero. The actual shape doesn't matter, only that the negative numbered samples are a mirror image of the positive numbered samples. When the Fourier transform is taken of this symmetrical waveform, the phase will be entirely zero, as shown in (b).

Имеется три типа *фазочастотной характеристики*, которую фильтр может иметь: **нулевая фаза**, **линейная фаза**, и **нелинейная фаза**. Пример каждой из них показывается на рисунке 19-7. Как показано в (a), фильтр нулевой фазы характеризуется импульсной передаточной функцией, которая является симметрической вокруг выборки нуля. Фактическая форма не имеет значения, только, что отрицательные пронумерованные выборки - зеркальное изображение(образ) положительных пронумерованных выборок. Когда принято(взята) преобразование Фурье(трансформанта Фурье) этой симметрической формы волны, фаза будет полностью нулевая, как показано в (b).

The disadvantage of the zero phase filter is that it requires the use of negative indexes, which can be inconvenient to work with. The linear phase filter is a way around this. The impulse response in (d) is identical to that shown in (a), except it has been shifted to use only positive numbered samples. The impulse response is still symmetrical between the left and right; however, the location of symmetry has been shifted from zero. This shift results in the phase, (e), being a *straight line*, accounting for the name: *linear phase*. The slope of this straight line is directly proportional to the amount of the shift. Since the shift in the impulse response does nothing but produce an identical shift in the output signal, the linear phase filter is equivalent to the zero phase filter for most purposes.

Недостаток фильтра нулевой фазы - то, что это требует использования отрицательных индексов, которые могут быть неудобны, чтобы с ними работать. Фильтр линейной фазы - путь(способ) вокруг этого(следующего?). Импульсная передаточная функция в (d) идентична показанной в (a), кроме этого была сдвинута, чтобы использовать только положительные пронумерованные выборки. Импульсная передаточная функция все еще симметрическая слева направо; однако, ось симметрии была сдвинута от нуля. Этот сдвиг приво-

дит к фазе, (e), являющийся *прямой линией*, учтенной(объясняя) для имени: *линейная фаза*. Наклон этой прямой линии - непосредственно пропорционален количеству сдвига. Так как сдвиг в импульсной передаточной функции производит только идентичный сдвиг в сигнале выхода, для большинства целей фильтр линейной фазы эквивалентен фильтру нулевой фазы.

Figure (g) shows an impulse response that is *not* symmetrical between the left and right. Correspondingly, the phase, (h), is *not* a straight line. In other words, it has a *nonlinear phase*. Don't confuse the terms: *nonlinear and linear phase* with the concept of *system linearity* discussed in Chapter 5. Although both use the word *linear*, they are not related. Why does anyone care if the phase is linear or not? Figures (c), (f), and (i) show the answer. These are the **pulse responses** of each of the three filters.

На рисунке (g) показана импульсная передаточная функция, которая не симметрическая между лево и право. Соответственно, фаза, (h), - *не* прямая линия. Другими словами, имеет *нелинейную фазу*. Не путайте термины: *нелинейная и линейная фаза* с концепцией системной линейности, обсужденной в главе 5. Хотя оба используют слово *линейная*, они не связаны. Почему каждый заботится, является ли фаза линейной или нет? На рисунках (c), (f), и (i) показан ответ. Они - импульсные характеристики каждого из трех фильтров.

The pulse response is nothing more than a positive going step response followed by a negative going step response. The pulse response is used here because it displays what happens to both the rising and falling edges in a signal. Here is the important part: zero and linear phase filters have left and right edges that look the *same*, while nonlinear phase filters have left and right edges that look *different*. Many applications cannot tolerate the left and right edges looking different. One example is the display of an oscilloscope, where this difference could be misinterpreted as a feature of the signal being measured. Another example is in video processing. Can you imagine turning on your TV to find the left ear of your favorite actor looking different from his right ear?

Импульсная характеристика не ничто больше чем реакция на проходящую положительную ступеньку(скачок)(переходная характеристика), сопровождаемую негативом, следующим за реакцией на скачок. Импульсная характеристика используется здесь, потому что это отображает то, что случается, и с повышением и спадом граней(фронтов) сигнала. Имеется важная часть: фильтры нулевой и линейной фазы имеют левые и правые грани, обрамляющие сигнал, *одинаковые* (тот же самый) вид, в то время как фильтры нелинейной фазы грани, обрамляющие импульс слева, и справа выглядят *различно*. Много приложений не могут допустить левые и правые грани, смотрящиеся различно. Один пример - дисплей осциллографа, где эта разность могла быть извращена(воспринята) как особенность измеряемого сигнала. Другой пример находится в обработке видео. Вы можете вообразить, что включив ваш телевизор, вы увидите что левое ухо вашего любимого актера, выглядит отлично(отличается) от его правого уха?

It is easy to make an FIR (finite impulse response) filter have a linear phase. This is because the impulse response (filter kernel) is directly *specified* in the design process. Making the filter kernel have left-right symmetry is all that is required. This is not the case with IIR (recursive) filters, since the recursion coefficients are what is specified, not the impulse response. The impulse response of a recursive filter is *not* symmetrical between the left and right, and therefore has a *nonlinear phase*.

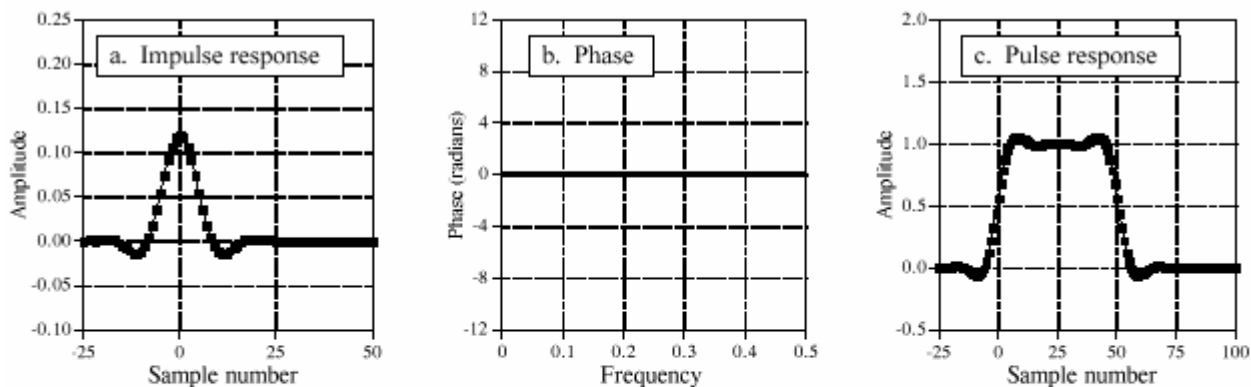
КИХ фильтр (фильтр с конечной импульсной передаточной функцией) имеющий линейную фазу, сделать просто. Это - то, потому что импульсная передаточная функция (ядро) (c) АВТЭКС, Санкт-Петербург, <http://www.autex.spb.ru>, e-mail: info@autex.spb.ru

фильтра) непосредственно *определено* в процессе проекта. Создание ядра фильтра имеет лево - правую симметрию - все, что требуется. Не так обстоит дело с БИХ (рекурсивными) фильтрами, начиная с коэффициентов рекурсии - то, что определено, не импульсная передаточная функция. Импульсная передаточная функция рекурсивного фильтра *не* симметрическая между лево и право, и поэтому имеет *нелинейную фазу*.

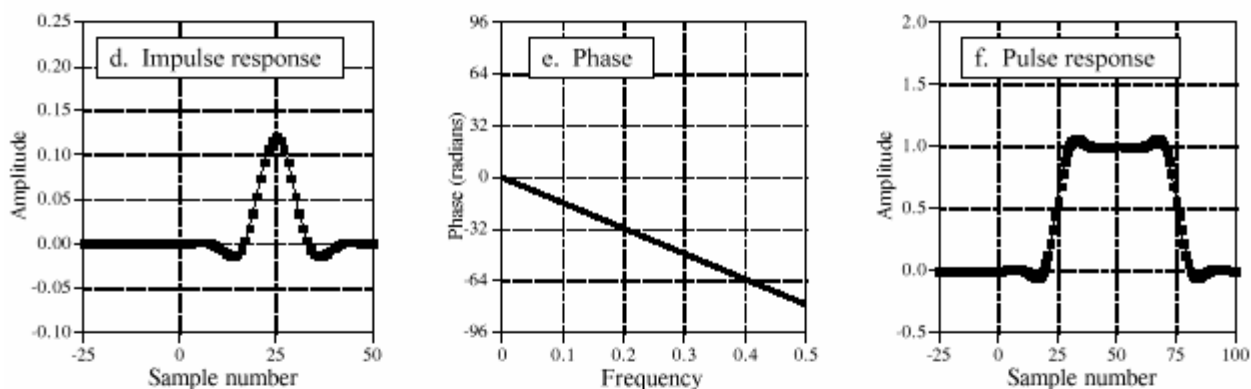
Analog electronic circuits have this same problem with the phase response. Imagine a circuit composed of resistors and capacitors sitting on your desk. If the input has always been zero, the output will also have always been zero. When an impulse is applied to the input, the capacitors quickly charge to some value and then begin to exponentially decay through the resistors. The impulse response (i.e., the output signal) is a combination of these various decaying exponentials. The impulse response *cannot* be symmetrical, because the output was zero before the impulse, and the exponential decay never quite reaches a value of zero again. Analog filter designers attack this problem with the **Bessel filter**, presented in Chapter 3. The Bessel filter is designed to have as linear phase as possible; however, it is far below the performance of digital filters. The ability to provide an *exact* linear phase is a clear advantage of digital filters.

Аналоговые электронные цепи имеют ту же самую проблему с фазочастотной характеристикой. Вообразите схему, составленную из резисторов и конденсаторов, находящихся на вашей плате. Если ввод всегда был нулевой, выход будет также всегда нулевой. Когда импульс применяется к вводу, конденсаторы быстро заряжаются до некоторого значения и затем начинают по экспоненте разряжаться через резисторы. Импульсная передаточная функция (то есть, сигнал выхода) - комбинация этих различных затухающих показательных функций. Импульсная передаточная функция *не может* быть симметрическая, потому что выход был нулевой прежде, чем импульс, и экспоненциальный спад никогда весьма не достигает значения нуля снова. Аналоговые проектировщики фильтра нападают на эту проблему с фильтром Бесселя(Бесселери), представленным в главе 3. Фильтр Бесселя(Бесселери) предназначен, чтобы иметь как линейная фаза насколько возможно; однако, это далеко ниже эффективности цифровых фильтров. Способность обеспечивать линейную фазу *точно* - чистое преимущество цифровых фильтров.

Zero Phase Filter



Linear Phase Filter



Nonlinear Phase Filter

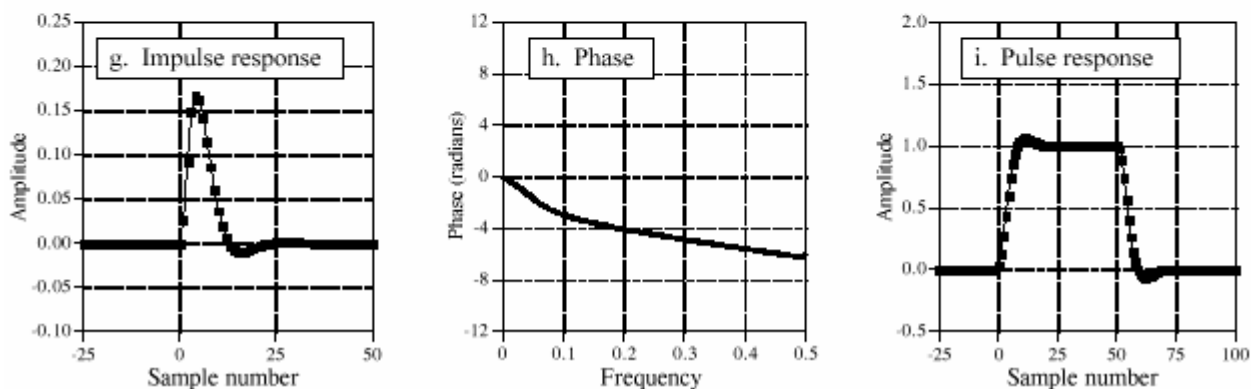


FIGURE 19-7. Zero, linear, and nonlinear phase filters.

A *zero phase* filter has an impulse response that has left-right symmetry around sample number zero, as in (a). This results in a frequency response that has a phase composed entirely of zeros, as in (b). Zero phase impulse responses are desirable because their step responses are symmetrical between the top and bottom, making the left and right edges of pulses look the same, as is shown in (c). *Linear phase* filters have left-right symmetry, but not around sample zero, as illustrated in (d). This results in a phase that is linear, that is, a straight line, as shown in (e). The linear phase pulse response, shown in (f), has all the advantages of the zero phase pulse response. In comparison, the impulse responses of *nonlinear phase* filters are not symmetrical between the left and right, as in (g), and the phases are not a straight line, as in (h). The worst part is that the left and right edges of the pulse response are not the same, as shown in (i).

ЧИСЛО(РИСУНОК) 19-7. Нуль, линейные, и нелинейные фазовые фильтры.

Фильтр нулевой фазы имеет импульсную передаточную функцию, которая имеет лево - правую симметрию вокруг выборки номер нуль, как в (a). Это приводит к частотной характеристике, которая составляет фазу, полностью состоящую из нулей, как в (b). Импульсные передаточные функции нулевой фазы, желательны, потому что их реакции на скачок(переходные характеристики) симметрические между верхней и нижней границей, делая левые и правые грани просмотра импульсов одинаковыми, как показывается в (c). фильтры линейной фазы имеют лево - правую симметрию, но не вокруг выборки нуля, как иллюстрировано в (d). Это приводит к фазе, которая является линейной, то есть прямая линия, как показано в (e). Линейная фазовая импульсная характеристика, показанная в (f), имеет все преимущества импульсной характеристики нулевой фазы. Для сравнения, импульсные передаточные функции фильтров нелинейной фазы не симметрические между левым и правым, как в (g), и фазы - не прямая линия как в (h). Самая плохая часть - то, что левые и правые грани импульсной характеристики - не одинаковые, как показано в (i).

Fortunately, there is a simple way to modify recursive filters to obtain a *zero phase*. Figure 19-8 shows an example of how this works. The input signal to be filtered is shown in (a). Figure (b) shows the signal after it has been filtered by a single pole low-pass filter. Since this is a nonlinear phase filter, the left and right edges do not look the same; they are inverted versions of each other. As previously described, this recursive filter is implemented by starting at sample 0 and working toward sample 150, calculating each sample along the way.

К счастью, имеется простой способ изменить рекурсивные фильтры, чтобы получить *нулевую фазу*. На рисунке 19-8 показан пример того, как это работает. Входной сигнал, который будет фильтрован, показан в (a). На рисунке (b) показан сигнал после того, как он был фильтрован однополюсным фильтром нижних частот. Так как это - фильтр нелинейной фазы, левые и правые грани не выглядят одинаково; они - перевернутые версии друг друга. Как предварительно описано, этот рекурсивный фильтр осуществлен, начинаясь при выборке 0 и работая к выборке 150, вычисляя каждую выборку по пути.

Now, suppose that instead of moving from sample 0 toward sample 150, we start at sample 150 and move toward sample 0. In other words, each sample in the output signal is calculated from input and output samples to the *right* of the sample being worked on. This means that the recursion equation, Eq. 19-1, is changed to:

Теперь, предположите, что вместо перемещения от выборки 0 к выборке 150, мы начинаем при выборке 150 и двигаемся к выборке 0. Другими словами, каждая выборка в сигнале выхода рассчитана от выборок ввода и вывода направо от выборки, над которой работают. Это означает, что уравнение рекурсии, 19-1 уравнение, изменено:

$$y[n] = a_0 x[n] + a_1 x[n+1] + a_2 x[n+2] + a_3 x[n+3] + \dots \\ + b_1 y[n+1] + b_2 y[n+2] + b_3 y[n+3] + \dots$$

УРАВНЕНИЕ 19-9. Обратное уравнение рекурсии.

Это - тот же самое, что и уравнение 19-1, кроме того, что сигнал фильтрован слева направо, вместо "справа налево".

Figure (c) shows the result of this **reverse filtering**. This is analogous to passing an analog signal through an electronic RC circuit while running time *backwards*. !esrevinu eht pu-wercs nac lasrever emit -noituaC

На рисунке (c) показан результат этой **обратной фильтрации**. Это аналогично пропусканью аналогового сигнала через электронную RC схему в то время как время выполнения как *обратно*. !esrevinu eht pu-wercs nac lasrever emit -noituaC

Filtering in the reverse direction does not produce any benefit in itself; the filtered signal still has left and right edges that do not look alike. The magic happens when forward and reverse filtering

are *combined*. Figure (d) results from filtering the signal in the forward direction and then filtering again in the reverse direction. Voila! This produces a *zero phase* recursive filter. In fact, *any* recursive filter can be converted to zero phase with this **bidirectional filtering** technique. The only penalty for this improved performance is a factor of two in execution time and program complexity.

Фильтрация в обратном направлении не производит никакой выгоды сама по себе; фильтрованный сигнал все еще имеет левые и правые грани, которые не выглядят аналогично. Чудо случается, когда фильтрации вперед и назад *объединены*. Рисунок (d) следствие фильтрации сигнала в прямом направлении и затем фильтрация снова в обратном направлении. Voila! Это производит нулевой фазовый рекурсивный фильтр. Фактически, любой рекурсивный фильтр может быть преобразован к фазе нуля с этой методикой **двунаправленной фильтрации**. Единственная расплата за эту улучшенную эффективность - фактор два в сложности программы и времени выполнения.

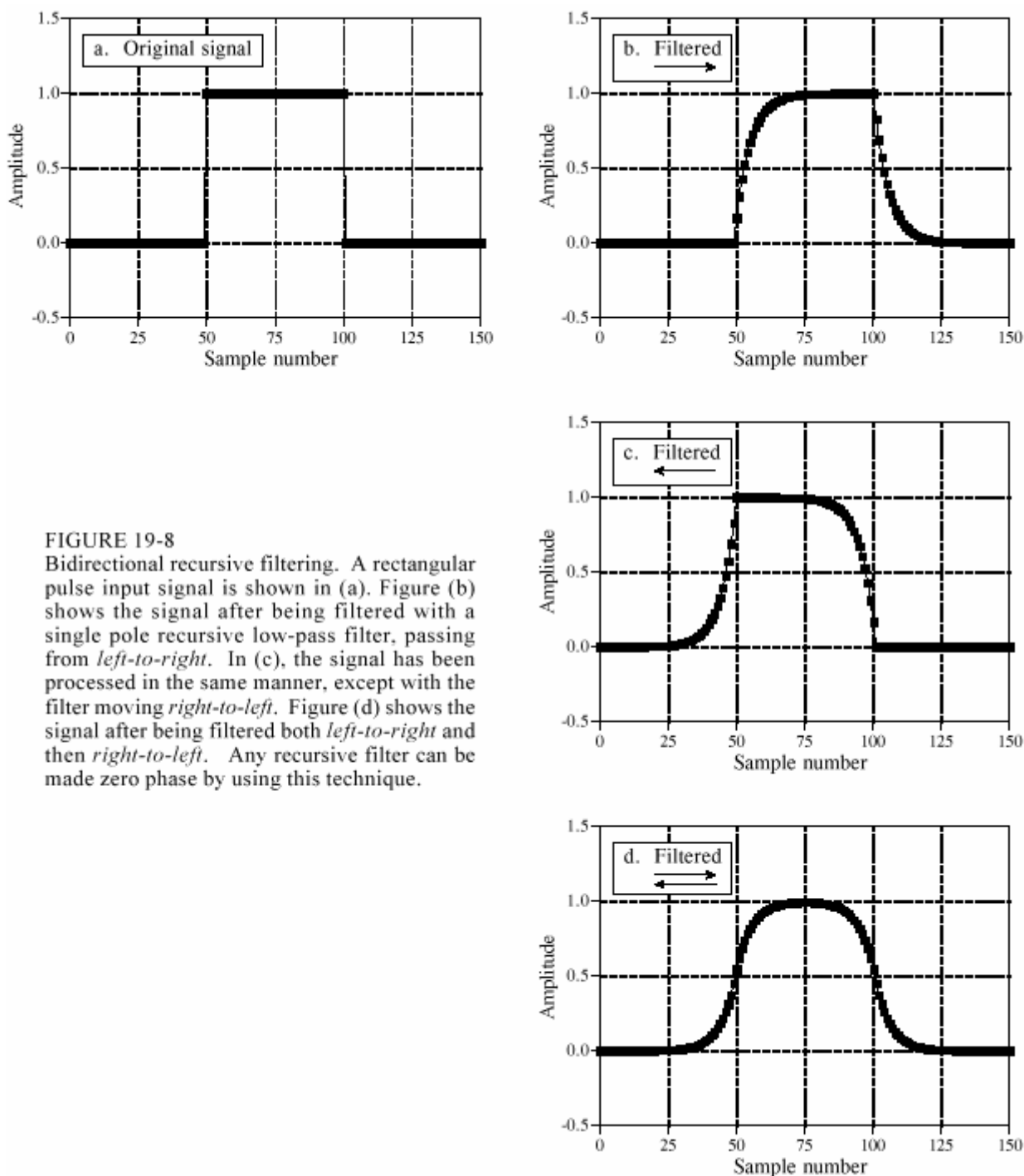


FIGURE 19-8 Bidirectional recursive filtering. A rectangular pulse input signal is shown in (a). Figure (b) shows the signal after being filtered with a single pole recursive low-pass filter, passing from *left-to-right*. In (c), the signal has been processed in the same manner, except with the filter moving *right-to-left*. Figure (d) shows the signal after being filtered both *left-to-right* and then *right-to-left*. Any recursive filter can be made zero phase by using this technique.

FIGURE 19-8. Bidirectional recursive filtering.

A rectangular pulse input signal is shown in (a). Figure (b) shows the signal after being filtered with a single pole recursive low-pass filter, passing from *left-to-right*. In (c), the signal has been processed in the same manner, except with the filter moving *right-to-left*. Figure (d) shows the signal after being filtered both *left-to-right* and then *right-to-left*. Any recursive filter can be made zero phase by using this technique.

РИСУНОК 19-8. Двухнаправленная рекурсивная фильтрация.

Прямоугольный сигнал вводимого импульса показывается в (а). Рисунок (b) показывает сигнал после фильтрации однополюсным рекурсивным фильтром нижних частот, проходящего слева направо. В (c), сигнал был обработан тем же самым способом, кроме того, что перемещение фильтрации " справа налево ". Рисунок (d) показывает сигнал после фильтрации, слева направо и затем " справа налево ". Любой рекурсивный фильтр может быть сделан фильтром с нулевой фазой, используя эту методику.

How do you find the impulse and frequency responses of the overall filter? The magnitude of the frequency response is the same for each direction, while the phases are opposite in sign. When the two directions are combined, the magnitude becomes *squared*, while the phase cancels to *zero*. In the time domain, this corresponds to convolving the original impulse response with a left-for-right flipped version of itself. For instance, the impulse response of a single pole low-pass filter is a one-sided exponential. The impulse response of the corresponding bidirectional filter is a one-sided exponential that decays to the right, convolved with a one-sided exponential that decays to the left. Going through the mathematics, this turns out to be a double-sided exponential that decays both to the left and right, with the same decay constant as the original filter.

Как Вы находите импульс и частотные характеристики полного фильтра? Величина частотной характеристики - та же самая для каждого направления, в то время как фазы – противоположны по знаку. Когда эти два направления объединены, величина становится возведенной в *квадрат*, в то время как фазовые отменяются к нулю. В домене времени, это соответствует скручиванию первоначальной импульсной передаточной функции с лево - правым зеркально отраженной версии себя. Например, импульсная передаточная функция однополюсного фильтра нижних частот - односторонняя показательная функция. Импульсная передаточная функция соответствующего двунаправленного фильтра - односторонняя показательная функция, которая распадается(затухает) вправо, свернутая с односторонней показательной функцией, которая распадается(затухает) влево. Проходя математику, это, оказывается, двусторонняя показательная функция, которая распадается(затухает), в обоих направлениях (слева направо и справа налево), с той же самой постоянной времени затухания как первоначальный фильтр.

Some applications only have a portion of the signal in the computer at a particular time, such as systems that alternately input and output data on a continuing basis. Bidirectional filtering can be used in these cases by combining it with the overlap-add method described in the last chapter. When you come to the question of how long the impulse response is, don't say "infinite." If you do, you will need to pad each signal segment with an *infinite* number of zeros. Remember, the impulse response can be truncated when it has decayed below the round-off noise level, i.e., about 15 to 20 time constants. Each segment will need to be padded with zeros on both the left and right to allow for the expansion during the bidirectional filtering.

Некоторые приложения имеют только часть сигнала в компьютере в специфическое время, типа систем, которые поочередно вводят и выводят данные относительно продолжающегося основания. Двунаправленная фильтрация может использоваться в этих случаях, объединяя это с перекрытием - добавленным методом, описанным в последней главе. Когда Вы прибываете в вопрос того, какой длины импульсная передаточная функция, не говорите "бесконечна". Если Вы делаете, Вы будете должны дополнить каждый сегмент сигнала бесконечным числом нулей. Помните, импульсная передаточная функция может быть усечена, когда это распалось(затухло) ниже уровня шумов округлений, то есть, приблизительно от 15 до 20 раз константы(постоянной времени). Каждый сегмент будет должен дополниться с нулями и слева и справа, чтобы учесть расширение в течение двунаправленной фильтрации.

Using Integers

Использование Целых чисел

Single precision floating point is ideal to implement these simple recursive filters. The use of integers is possible, but it is much more difficult. There are two main problems. First, the round-

off error from the limited number of bits can degrade the response of the filter, or even make it unstable. Second, the fractional values of the recursion coefficients must be handled with integer math. One way to attack this problem is to express each coefficient as a fraction. For example, 0.15 becomes 19/128. Instead of multiplying by 0.15, you first multiply by 19 and then divide by 128. Another way is to replace the multiplications with look-up tables. For example, a 12 bit ADC produces samples with a value between 0 and 4095. Instead of multiplying each sample by 0.15, you pass the samples through a look-up table that is 4096 entries long. The value obtained from the look-up table is equal to 0.15 times the value entering the look-up table. This method is very fast, but it does require extra memory; a separate look-up table is needed for each coefficient. Before you try either of these integer methods, make sure the recursive algorithm for the moving average filter will not suit your needs. It *loves* integers.

Одинарная прецизионность с плавающей запятой идеальна, чтобы осуществить эти простые рекурсивные фильтры. Использование целых чисел возможно, но это намного более трудно. Имеются две основных проблемы. Во первых, ошибка округления от ограниченного числа битов может ухудшать ответ(характеристику) фильтра, или даже делать ее не стабильной. Во вторых, дробные значения коэффициентов рекурсии должны быть обработаны с целочисленной математикой. Один способ нападать на эту проблему состоит в том, чтобы выразить каждый коэффициент как дробь(доля). Например, 0.15 становится 19/128. Вместо умножения 0.15, Вы сначала умножаете на 19 и затем делите на 128. Другой путь состоит в том, чтобы заменить умножение таблицами поиска(справочными таблицами). Например, 12 битный(разрядный) АЦП 12 производит выборки со значением между 0 и 4095. Вместо умножения каждой выборки на 0.15, Вы передаете выборки через таблицу поиска, которая является 4096 входами длинной. Значение, полученное от таблицы поиска равно 0.15 значения, входящее в таблицу поиска. Этот метод очень быстр, но требует дополнительной памяти; отдельная таблица поиска необходима для каждого коэффициента. Прежде, чем Вы пробуете любой из этих целочисленных методов, удостоверьтесь, что рекурсивный алгоритм для фильтра скользящего среднего значения не будет удовлетворять ваши потребности. Это любит целые числа.